

酸化物強誘電体薄膜とデバイス応用

奥 山 雅 則

大阪大学基礎工学部電気工学科 〒560 豊中市待兼山町1-3

(1996年6月19日受理)

Ferroelectric Oxide Thin Films and Their Applications to Devices

Masanori OKUYAMA

Department of Electrical Engineering, Faculty of Engineering Science, Osaka University
Machikaneyama-cho, Toyonaka, Osaka 560

(Received June 19, 1996)

D-Eヒステリシス、大きい誘電率、顕著な圧電効果、焦電効果、電気光学効果を有する強誘電体の薄膜化法を概説するとともに、DRAM、不揮発性メモリ素子、低駆動電圧薄膜EL素子、Siモノリシック超音波センサ、焦電形赤外線FET、赤外線撮像素子、光変調素子、光スイッチ、光偏向素子、マイクロモータ、光駆動マイクロカンチレバーなどの薄膜を用いた機能性電子デバイスの例について紹介する。

1. はじめに

最近、強誘電体薄膜を用いた半導体超薄膜化メモリが大変注目され、その研究開発が非常に盛んである。これは大きな誘電率や分極履歴現象(D-Eヒステリシス)を有する強誘電体を蓄積キャパシタやゲート絶縁膜の部分に用いることによりDRAMの更なる高集積化や、不揮発性メモリが低電圧駆動で高集積化できることによる。そもそも、強誘電体は、電場が無くても自発分極が存在し、外部電場によって分極方向を反転できるような物質である。この自発分極が電場印加により反転することが分極履歴現象である。分極履歴現象のみならず、分極は温度、圧力等外部環境によつても変化して顕著な圧電効果、焦電効果を示す。電場印加による光応答変化として電気光学効果もある。このような現象をうまく応用了した電子デバイスの実現が望まれており、そのためには高品質の強誘電体の薄膜化が必須である。電子デバイス用強誘電体材料としては上述の現象において優れた性質を有すると共に常温で強誘電性を示し、また化学的に安定でなくてはならない。多くの有機物において強誘電性が見出されているが、水溶性や吸湿性、低キュリー温度等の問題で現状では実用性はあまり大きないと考えられている。一方、酸化物強誘電体は水溶性は少なく化学

的にも安定で、キュリー温度が高いものも数多く、必要な性質を持つ材料を多くの物質群から選択することが可能である。例えば、顕著な分極履歴現象を示すものとしてPbTiO₃、LiNbO₃、LiTaO₃、分極反転による誘電的疲労の少ないBi₄Ti₃O₁₂やSrBi₂Ta₂O₉等の層状構造酸化物、誘電率の大きいBa_{1-x}Sr_xTiO₃(BST)やPb(Mg_{1/3}Nb_{2/3})O₃-PbTiO₃(PMN-PT)等の固溶体、圧電効果の顕著なものとしてPb(Zr,Ti_{1-x})O₃(PZT)、(Pb_{1-x}La_x)(Zr_{1-x}Ti_x)_{1-x}O₃(PLZT)、PbTiO₃等、焦電効果の顕著なものとしてPbTiO₃、LiTaO₃、PLZT、Pb_{1-x}La_xTiO₃(PLT)等、また電気光学効果の顕著なものとしてPLZT、PLT、LiNbO₃、LiTaO₃等多くの物質群がある。本稿ではこれらの材料の薄膜化の概略と薄膜を利用して実現された電子デバイスへの応用について紹介する。

2. 強誘電体薄膜の作製

PZT、PLZT、PbTiO₃、Ba_{1-x}Sr_xTiO₃、Bi₄Ti₃O₁₂等の酸化物強誘電体の構成元素であるPb、La、Ba、Bi、Sr、Ti、Zr等これららの酸化物は蒸気圧がお互いに大きく異なるため薄膜化は簡単でなくこれまで多くの方法が試みられてきた。その中で比較的良好な薄膜が得られた方法を紹介する。作製法は、熱やイオン衝撃等を用いて蒸発を促進する物理的方法と、化合物で蒸気圧を上げたり化学反応を促進する化学的方法の2つに大きく分類できる。物

理的方法は、ソースの熱蒸発法と高エネルギーイオンで弾き飛ばすスパッタリング法とに再び分けられる。熱蒸発としてはまず抵抗加熱、電子ビーム照射加熱、レーザアブレーションがあり、原子層成長も試みられている。また、蒸発し塊状にした原子集団をイオン化加速して堆積するクラスターイオンビーム法、基板にイオンや光を照射する光イオンアシスト法もある。スパッタリングは直流、高周波、ECR、マグネットロン、イオンビームなどにより、セラミックや金属ターゲットを用いたり、また各構成元素のターゲットを独立して制御して組成比の調整も行われている。化学的方法も、蒸気圧の高い化合物を反応させる気相成長(CVD)と液体中で反応させる液相成長とに再び分けられる。気相成長では熱CVD、また気相中に高周波電力を加えるプラズマCVDや光励起で化学反応を活性化する光CVDがある。最近では、Pb、Ti、Zr等の有機金属化合物が多く作られるようになり、有機金属CVD(MOCVD)が盛んに行われている。液相成長には、まず有機金属化合物混合液を基板上にコートして熱処理しゾル-ゲル反応により製膜するゾル-ゲル法がある。水溶液を高圧下で比較的低い温度で反応させる水熱合成、さらに電着法等も行われている。また、液体ソースを酸素雰囲気中に霧状にして反応させる液体ソース堆積法も注目される。

3. 強誘電体薄膜を利用した新機能電子デバイス

優れた強誘電的性質を有する薄膜の種々の現象を利用して様々な電子デバイスが試作されており、図1に現象別に分類した例を示す。以下にこれらの機能性デバイスについて簡単に紹介する。

3.1 半導体メモリ素子

3.1.1 高誘電率膜キャパシタ DRAM

DRAM(Dynamic Random Access Memory)はMOSFETのソースにSiO₂膜のキャパシタが接続された1トランジスタ、1キャパシタの回路からなる。SiO₂膜のキャパシタに蓄積し記憶された電荷のわずかな放電による消滅を補うため再び書き込み、これを繰り返して記憶するものである。自然界からの放射線によりFET近傍で電子-正孔が発生し蓄積キャパシタの電荷量を変え記憶を破壊してしまう(ソフトエラー)。これを防ぐためには蓄積キャパシタには30 fF程度の容量が必要となるが、SiO₂膜では超高集積化に伴う微細化のため十分な静電容量がかせげない。そこで蓄積キャパシタとしてまず研究された材料が、誘電率約300で誘電率の温度変化の少ないSrTiO₃である。約50 nmの厚さまではほぼ一定の誘電率が得られ、SiO₂薄膜の厚さ換算で0.88 nm程度まで可能となっ

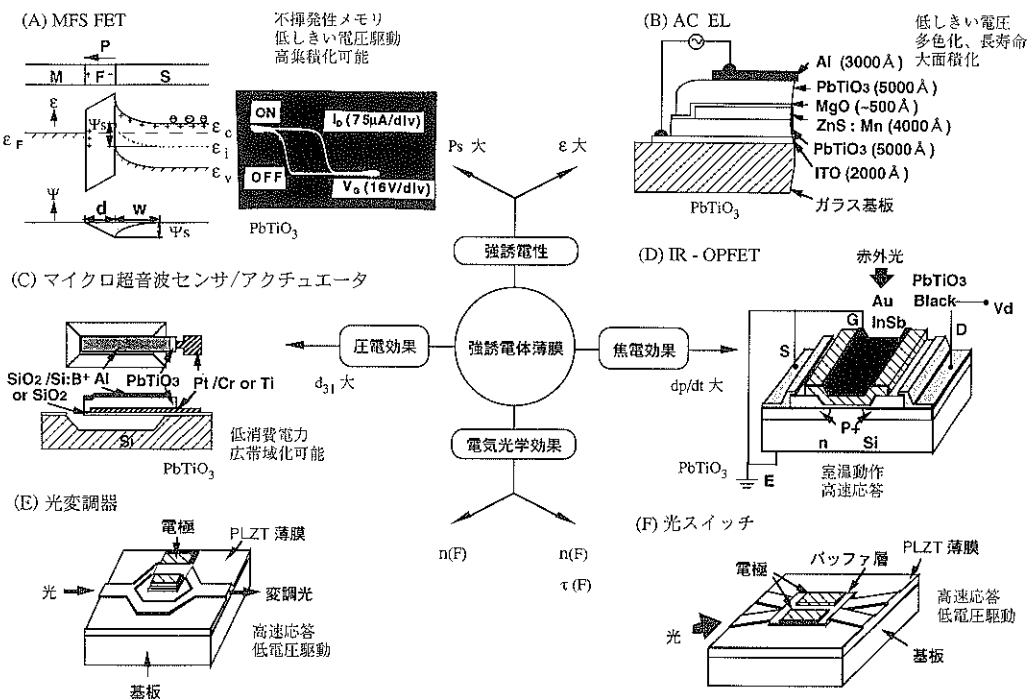


図1 強誘電体薄膜の諸現象と応用デバイス

た¹)。誘電率がもっと大きい材料として注目されているのがBSTであり、 SiO_2 換算膜厚0.47 nmが報告されている²)。DRAMのキャパシタとしてリーク電流を低くしなければならないが、 SrTiO_3 や $\text{Ba}_{x}\text{Sr}_{1-x}\text{O}_3$ 薄膜では 10^{-7} A/cm²以下まで抑えられており、実用化の条件を満足する。さらに、微細加工性、半導体への拡散抑制、プロセス工程への汚染防止等についても、ドライエッチングプロセスの開発、プロセス温度の低減化により解決されつつある。

3.1.2 強誘電体蓄積キャパシタメモリ

前述の蓄積キャパシタに分極履歴の大きい強誘電体薄膜を用いた素子が不揮発性メモリとなる。ゲートに電圧を加えFETをONにし、ドレインにパルス電圧を印加すると強誘電体の分極状態に対応したドレイン電流により記憶状態を読み出せる。図2は $20 \times 20 \mu\text{m}^2$ の面積の電極を形成したPZT膜に、挿入図に示すような正負のパルス列を印加したときの電流応答波形である³)。負パルスに続く正パルスでは分極反転を含む大きな電流 I_{posi} が流れれるが、2番目の正パルスでは小さな電流 I_{up} しか流れず、この差からONとOFF状態が読み取れる。しかし、このメモリでは、読み出し後にはすべて同じ分極状態にもどり記憶破壊されるため、再書き込みが必要となる。また、読み出し、書き込みを繰り返すと分極履歴特性が劣化する“疲労”が重要な問題となる。電源印加時にはDRAMの動作をさせ、電源切断時には分極で記憶させるならば、書き換え回数は非常に多くなり、 10^{15} 回以上の耐疲労性が要求される。疲労の原因としては酸素欠乏欠陥の発生や原子の拡散などが考えられ、改善策として、薄膜作製法の改良、材料の選択、電極材料選択などが行われている。新たな材料として $\text{Bi}_2\text{Sr}_2\text{Ta}_2\text{O}_9$ や $\text{Bi}_4\text{Ti}_3\text{O}_12$ 等の層状強誘電体が提案され^{4, 5})、書き換えが 10^{12} 回を越えても疲労が少ないことが示された。さらに、電極として従来のPt膜に代えて、 RuO_2 膜やIr膜が提案され、疲労特性

改善に有効であることも報告されている。

3.1.3 強誘電体ゲートFET(MFSFET)メモリ

絶縁ゲート部に強誘電体薄膜を用いたMFSFETの構造を図3に示す。強誘電体薄膜の分極履歴特性に対応してチャネル部の表面ポテンシャルが変化し、キャリア量が変わって電流を制御する。図1(A)に PbTiO_3 薄膜を SiO_2/Si 上に成長させたMFSFETのドレイン電流-ゲート電圧特性を示す⁶)。分極履歴に対応してドレイン電流にonとoffの2つの状態が生じている。このMFSFETは読み出し時においても強誘電体膜に大きな電界は印加されず、反転電流形の不揮発性メモリにあるような記憶の消失がないため再書き込みの必要性がなく理想的なメモリ素子である。また、Si表面ポテンシャルの制御に必要な分極密度も少なく、強誘電体薄膜に課される要求は少なくてすむ。しかし、半導体Siやその上の非晶質 SiO_2 膜上に良質の強誘電体膜を成長させることは難しい。最近レーザーアブレーション法を用いた PbTiO_3 や $\text{Bi}_4\text{Ti}_3\text{O}_12$ 膜、Si上に CaF_2 、 SrF_2 や CeO_2 膜を成長させた基板、 SiO_2/Si 上のIr膜上に強誘電体膜を成長したMFMS構造等、様々な作製法が提案されている。読み取り時間100 ns、書き込み時間1 μ s、10⁹回の繰り返し動作可能で、16 kbitの素子が作られている。

3.2 低電圧駆動エレクトロルミネッセンス(EL)素子

図1(B)に示すように、Mnや希土類化合物等の発光中心をドープしたZnSやZnSe薄膜を絶縁膜で挟み込んだ2重絶縁構造の薄膜EL素子は大面积化が可能で、発光輝度が高く、発光中心の選択によるカラー化が可能なため、高分解能壁掛けテレビやキャレクタディスプレイ等の平面ディスプレイ装置として期待されている。しかし、駆動電圧は~250 Vと非常に高く、駆動回路の製作を困難にしている。駆動電圧の高い原因の一つに、発光に直接寄与しない絶縁層にかかる電圧が大きいことがあるため、低誘電率の Y_2O_3 膜を高誘電率の PbTiO_3 膜に変えることにより駆動電圧を下げた⁷)。図4はこれらの素子の発光輝度の電圧依存性を比較したもので、輝度~50 fLで Y_2O_3 膜を用いた素子の動作電圧~120 Vを PbTiO_3 膜を用いた素子で~50 Vと約70 V下げる事ができた。

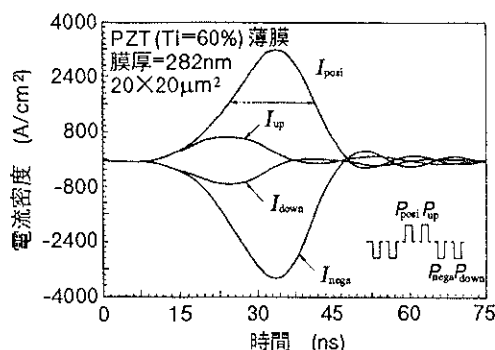


図2 PZT薄膜に正負のパルスを印加した時の電流応答

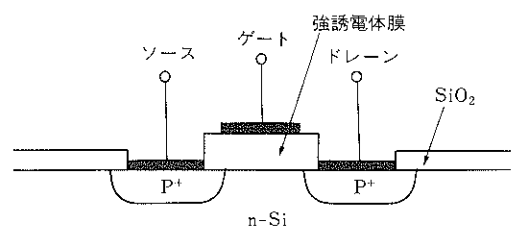


図3 MFSFETの構造

また動作中に駆動電圧が増加する aging 現象も PbTiO_3 膜を用いた素子の方が非常に小さく、安定した動作をさせることができる。

3.3 Si モノリシック超音波センサ

図1 (C) に示すように、Si 基板上の SiO_2 や Si の微小片持梁（カンチレバー）上に PbTiO_3 膜を成長し、電極を形成した超音波センサが作製された⁹⁾。微小カンチレバーは長さ、幅が数十～数百 μm で、フォトリソグラフィーにより残したい部分に SiO_2 や Si: B^+ を形成し、選択エッチングにより他の部分の Si を除去して作製する。この素子に超音波を当てると、カンチレバーは共振し、 PbTiO_3 膜内にストレスが生じ、その圧電効果により電極間に電圧を発生する。共振周波数はカンチレバー長の 2 乗に逆比例し、Si カンチレバーの長さを 100 μm から 1 mm まで変えたとき 2 次モードの共振周波数は約 10 kHz から 1

MHz まで変化する。カンチレバーを直線または面状に並べたアレイセンサにおいて、それぞれの出力に遅延をかけて信号処理することにより、指向性を上げたり、並進、偏向等高度の機能を有するフェーズドアレイができる。さらに、種々の長さのカンチレバーをアレイ化した素子により超音波スペクトラムアナライザも作ることができる。

3.4 焦電形赤外線センサ

強誘電体薄膜を種々の基板上に成長させ、その焦電効果を利用して各種赤外線センサが実現できる。まず、図1 (D) に示すように、SiMOSFET のゲート上に PbTiO_3 膜を成長し、さらに赤外線を吸収する電極を形成することにより IR-OPFET と呼ばれる赤外線センサができる⁹⁾。赤外線を照射すると PbTiO_3 膜の焦電効果による電気分極の変化がチャネル部の表面ボテンシャルを変え、ドレン電流を変化させて赤外線を検出する。この IR-OPFET に赤外線をチョップして照射した時、出力はチョッピング周波数に逆比例する焦電効果特有の特性を示す。感度は薄膜単体と同程度であり、あまり大きくないが、これは吸収された赤外線の熱が伝導で Si に逃げたり、入力容量が大きくなるためであると考えられる。そこで図1 (C) のように、検知部直下の Si を除去し、熱伝導ロスを減らし、感度を上げることが試みられ、1～2 极電流感度が向上し、バイポーラトランジスタを繋いだセンサで高周波側の感度が改善された。

PbTiO_3 膜を用いたリニアアレイセンサも作製された。対象物からの赤外線をスキャニングミラー、凹面鏡でリニアアレイ上に結像、走査し、出力を信号処理した後、オシロスコープ上に動画として撮像された。また、図5 に示すような 2 次元の赤外線撮像素子も試作された¹⁰⁾。La を加えた PbTiO_3 薄膜を、Pt をアレイ状にコートした

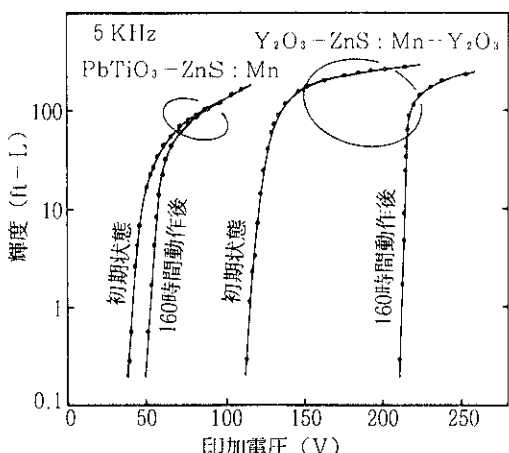


図4 薄膜EL素子の発光輝度-電圧特性

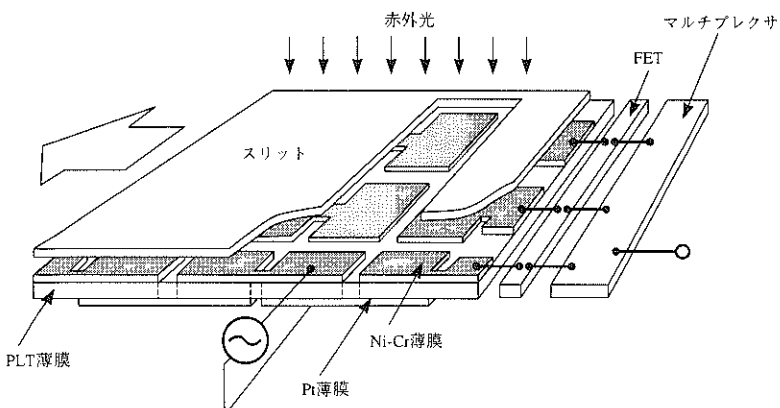


図5 PLT薄膜2次元アレイセンサ

MgO 単結晶基板上に c-軸配向させて成長し、MgO をエッティングで除去する。素子自体は直列接続のリニアアレイを並列に並べたもので、1 素子の出力は 1 列のアレイを介して検出される。平行に並んだアレイに垂直に直線状のスリットを走査して赤外線像を得ている。32 × 32 の 2 次元撮像素子が試作され、手の赤外像等が得られた。

3.5 オプトエレクトロニクス素子

電気光学効果を利用していくつかの光変調素子や光スイッチが試作された。まず、図 1 (E) に示すように、サファイア基板上に PLZT 膜を成長させ、エッティングによってリッジ形の光導波路を形成して、マッハツェンダ干渉計が試作された¹⁰。導波路の一方に電極を介して電界を印加すると電気光学効果による光変調がなされた。この電気光学係数は Ti 扩散 LiNbO₃ 単結晶の数分の 1 である。図 1 (F) に示すような光の全反射の電界効果を用いてスイッチ素子が試作された¹¹。サファイア基板上 PLZT 膜のリッジ形導波路を 2° で交差させ、そこに電極が形成されている。He-Ne レーザー光を 1 つのポートから入れると対向するポートに反射するが、電圧を印加するともう一つのポートにスイッチされる。Ti 扩散 LiNbO₃ の光スイッチに比べ、動作電圧はやはり数分の 1 になっている。また、音響光学効果を用いた Bragg 反射形偏向器が試作された¹²。サファイア基板上の PLZT 膜に簾状電極を形成し、これに垂直に GaP ブリズムによって He-Ne レーザー光を導波させ、対向する GaP ブリズムから光を取り出す。簾状電極に 400 MHz の高周波電圧を印加すると PLZT 膜に表面弹性波 (SAW) が伝搬し、光の一部が回折され、偏向される。0.6 W の入力で 20% の回折効率が得られた。

3.6 アクチュエータ

3.6.1 マイクロモータ

圧電体セラミクスを用いた超音波モータはすでに実用化されているが、強誘電体薄膜で Si マイクロマシンニングと組み合わせて実現する試みがなされた。図 6 はその構造と動作原理を示したものである¹³。SiN メンブレンの上に PZT 薄膜を成長し、その上にリング状に電極を形成し、その電極に電圧を印加してできる歪みを回転させ、travelling wave を発生させる。この上に凸レンズ等の微小物体をのせると、travelling wave により回転する。強誘電体薄膜に蓄積されるエネルギーが静電モータのエアギャップに蓄積されるエネルギーに比べ、誘電率分だけ大きく、PZT 薄膜を使った場合その比は 3 術以上になり、大きな出力が期待できる。グルーベル法により PZT 膜を成長し、内径 1.2 mm、外径 2 mm の上部電極を形成し stator とした。90 kHz、peak-to-peak 4 V の電圧を印加

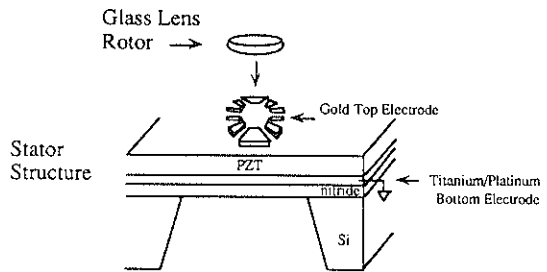


図 6 PZT薄膜を用いたマイクロモータ

Chopped light illumination
(He-Ne laser: 632.8nm, 1mW)
Optical vibration
(Energy supply and control)

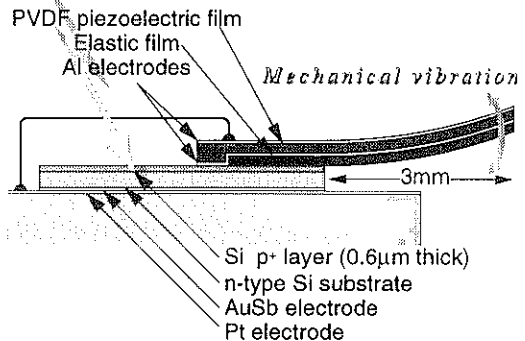


図 7 光駆動マイクロカンチレバー

し、この上に直径 1.5 mm の凸レンズを置くと 100–300 r/m で回転するのが確認された。5 V の動作では normalized torque は $1.6 \times 10^{-15} \text{ Nm/V}^2$ となり、100 V 動作の静電モータの $1.4 \times 10^{-12} \text{ Nm/V}^2$ より 3 術大きくなり、実用的に優れている。

3.6.2 光駆動マイクロカンチレバー

自律走行型のマイクロマシンを実現するには、無線で制御・エネルギー供給されるアクチュエータが望ましい。そこで、照射光を太陽電池で電力を変換することにより無線で駆動されるカンチレバーおよびダイアフラム型のミニチュアサイズのアクチュエータが作製された¹⁴。測定に用いた素子の構造を図 7 に示す。カンチレバーは、厚さ 3 μm の PVDF フィルム（両面 Al 蒸着）に厚さ 45 μm の弾性体を接着したモノモルフ構造で、3 × 3 mm² の正方形である。また比較のために、直径 3 mm のダイアフラムも作製された。太陽電池は、抵抗 100 Ω cm の n 型 Si 基板の表面に熱拡散により高濃度の B をドープして作製された。これらを Pt 膜コートガラス基板上に設置し、Pt 電極とカンチレバー上部電極とを結線した。照射光源としては、強度 43.2 mW/cm²、出力 1 mW の He-Ne レーザを

用い、これを機械式チャップでチャップし、素子に照射した。カンチレバーでは400 Hz付近に、またダイアフラムで10 kHz付近に共振によるピークが見られ、外部からの電圧印加時の共振ピークと一致している。

4. まとめ

D-Eヒステリシス、大きい誘電率、顕著な圧電効果、焦電効果、電気光学効果を有する強誘電体の薄膜化法を概説するとともに、DRAM、不揮発性メモリ素子、低駆動電圧薄膜EL素子、Siモノリシック超音波センサ、焦電形赤外線FET、赤外線撮像素子、光変調素子、光スイッチ、光偏向素子、マイクロモータ、光駆動マイクロカンチレバーなどの薄膜を用いた機能性電子デバイスの例について紹介した。これらは薄膜化技術の進歩により優れた性質を持つ強誘電体薄膜が種々の基板上に製膜できるようになったため実現できた。しかし、現在の薄膜化法でも高基板温度、基板へのダメージ、配向性制御等克服すべき点も多い。これらの問題点が解決され、用途に応じた最適の強誘電体薄膜ができれば、その発展が飛躍的になると期待される。

文 献

- 1) S. Yamamichi, T. Sakuma, K. Takemura and Y. Miyasaka: Jpn. J. Appl. Phys. **30**, 2193 (1991).
- 2) 木森貴尚、大野吉和、伊藤博巳、西村正、堀川剛、芝野照夫、佐藤一直、難波敬典: 日経マイクロデバイス **2**, 99 (1994).
- 3) T. Mihara, H. Watanabe, C.A. Paz de Araujo, J. Cuchiaro, M. Scott and L.D. McMillian: Proc. 4th Int. Symp. on Integrated Ferroelectrics, Monterey, USA, March (1992) p. 137.
- 4) 藤井英治、大槻達男、上本康裕、島田恭博: 応用物理学応用電子物性分科会研究報告 No. 456, AP942235, 32 (1994).
- 5) T. Kijima, S. Satoh, H. Matsunaga and M. Koba: Jpn. J. Appl. Phys. **35**, 1246 (1996).
- 6) Y. Matsui, H. Nakano, M. Okuyama, T. Nakagawa and Y. Hamakawa: Proc. 2nd Meeting of Ferroelectric Materials and Their Applications, 239, Kyoto (1979).
- 7) K. Okamoto, Y. Nasu, M. Okuyama and Y. Hamakawa: Jpn. J. Appl. Phys. **20-1**, 215 (1981).
- 8) M. Okuyama and Y. Hamakawa: Sensors and Materials **1**, 13 (1988).
- 9) M. Okuyama, Y. Matsui, H. Nakano and Y. Hamakawa: Ferroelectrics **33**, 235 (1981).
- 10) R. Takayama, Y. Tomita, J. Asayama, K. Nomura and H. Ogawa: Sensors and Actuators **A21-A23**, 508 (1990).
- 11) T. Kawaguchi, H. Adachi, K. Setsune, O. Yamazaki and K. Wasa: Appl. Optics **23**, 2187 (1984).
- 12) H. Higashino, T. Kawaguchi, H. Adachi, T. Makino and O. Yamazaki: Jpn. J. Appl. Phys. **24-2**, 284 (1985).
- 13) H. Adachi, T. Mitsuyu, O. Yamazaki and K. Wasa: Jpn. J. Appl. Phys. **24-2**, 287 (1985).
- 14) A.M. Flynn, L.S. Tavrov, S.F. Bart, R.A. Brooks, D.J. Ehrlich, K.R. Udayakumar and L.E. Cross: J. Micromechanical Systems **1**, 44 (1992).
- 15) K. Yamashita, A. Murata, M. Okuyama and Y. Hamakawa: Tech. Digest of the 13th Sensor Symposium (1995) p. 13.